

北海道大学 正員 渡辺 昇

ク ブルノ知徳

北海道開発局 ク 〇竹田俊明

1. まえがき

(組荷重(アフィン荷重)間の直交性を利用した格子桁の理論解析は、K. Domberg によってなされているが、本稿は、これを拡張して主桁、横桁共に曲げ及び換り剛性を考慮した解法を示し、更にこれを鋼床版に適用して文献(3)(4)の有限要素法(Finite Strip Method)等と比較したものである。

2. 格子桁の理論

1組のアフィン荷重群は図1のように横行本数個ある。ここで $\alpha_{k(n)}$ は垂直アフィン荷重群、 $\beta_{k(n)}$ は主桁にとってモーメントアフィン荷重群、 $\gamma_{k(n)}$ は主桁にとって、換りモーメントアフィン荷重群である。このとき 図2から式(1)のようになる。

$$\begin{aligned} f_{f(n)}^t &= \sum_{k=1}^n f_{f(k)} \alpha_{k(n)} & f_{f(n)}^2 &= \sum f_{f(k)}^2 \beta_{k(n)} \\ \theta_{f(n)}^2 &= \sum \theta_{f(k)}^2 \gamma_{k(n)} & g_{f(n)}^2 &= \sum g_{f(k)} \alpha_{k(n)} \\ g_{f(n)}^2 &= \sum g_{f(k)}^2 \beta_{k(n)} \end{aligned} \quad \text{式 (1)}$$

上記のアフィン荷重群 ($\alpha_{k(n)}$ $\beta_{k(n)}$ $\gamma_{k(n)}$) は

$$\begin{aligned} \sum f_{f(k)} \alpha_{k(n)} &= w_{f(n)} \alpha_{k(n)} & \sum \theta_{f(k)}^2 \gamma_{k(n)} &= w_{f(n)} \gamma_{k(n)} \\ \sum g_{f(k)}^2 \beta_{k(n)} &= w_{M(n)} \beta_{k(n)} \end{aligned} \quad \text{式 (2)}$$

による固有値マトリックスの固有値ベクトルとして求められ、 $w_{f(n)}$, $w_{f(n)}$, $w_{M(n)}$ は各々の固有値即ちバネ係数である。従来と相違して $f_{f(n)}$, $\theta_{f(n)}$, $g_{f(n)}$ はそれ自身の荷重群とは直交性があるが、垂直荷重群 ($\alpha_{k(n)}$) による $g_{f(n)}$ 及びモーメント荷重群 ($\beta_{k(n)}$) による $f_{f(n)}^2$ がそれぞれ $\beta_{k(n)}$ 及び $\alpha_{k(n)}$ と仕事をなすとき、この間に常に直交関係が成立する

とは言えない。それは 式(3)の $A_{f(n)}$, $B_{f(n)}$ に関連している。ここで $A_{f(n)}$, $B_{f(n)}$ は $f_{f(n)}$, $g_{f(n)}$ に

$$\sum f_{f(k)}^2 \beta_{k(n)} = w_H \cdot A_{f(n)} \quad \sum g_{f(k)} \alpha_{k(n)} = w_W \cdot B_{f(n)} \quad \text{式 (3)}$$

それを相似な個々の値である。但し w_H , w_W はバネ係数

さて一般に曲げ及び換り剛性を考慮した格子桁の弾性方程式は、式(4)となる。

$$C \cdot X + P \cdot D + T \cdot \Theta + M \cdot G = 0 \quad \text{式 (4)}$$

$$C = \begin{bmatrix} C_{11} & \cdots & C_{1n} \\ \vdots & & \vdots \\ C_{n1} & \cdots & C_{nn} \end{bmatrix} \quad X = \begin{bmatrix} X_1 \\ \vdots \\ X_n \end{bmatrix} \quad D = \begin{bmatrix} D_1 \\ \vdots \\ D_n \end{bmatrix} \quad \Theta = \begin{bmatrix} \Theta_1 \\ \vdots \\ \Theta_n \end{bmatrix} \quad G = \begin{bmatrix} g_1 \\ \vdots \\ g_n \end{bmatrix}$$

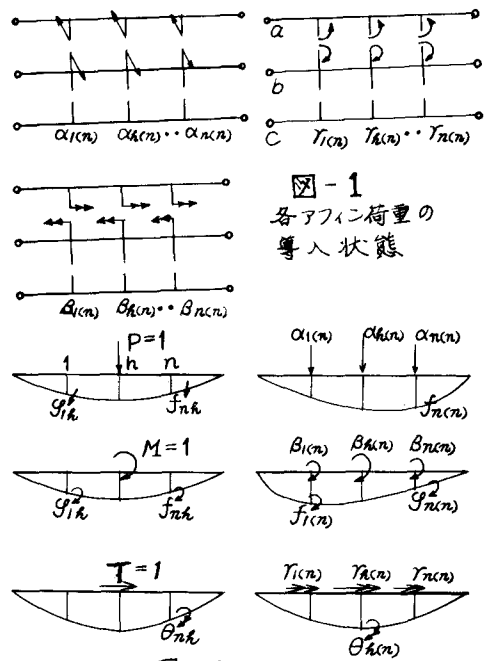


図-2

$f_{f(n)}^2$ は単位モーメントが単元に作用したときの莫れのタラミ $\theta_{f(n)}$ が各組の換りモーメント群が作用したときの莫れの換り角

式(4)の不静定量としては 図3のように横行中央で切断して切断面に生ずる剪断力と曲げモーメント及び捩りモーメントをアフィン荷重群として導入する。

式(4)の一般解は 式(5)のようになる。

$$\text{断面力 } S_x = S_x^0 + \sum S_{x(m)} X_{Am} + \sum S_{x(m)} X_{B(m)} \\ + \sum S_{x(m)} X_{C(m)} \quad \text{式(5)}$$

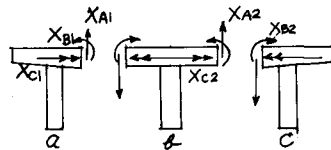


図3 不静定量の導入の仕方

解析方法として アフィン荷重法を用いる事は 組合せ荷重間の直交関係を利用して、全体の弾性方程式の係数マトリックス(式(4)のC)を横行本数個の係数小マトリックスに

分解し 各横行ごとに得られる弾性方程式を解く事を目的としている。

従来の主桁のみ捩り剛性を考慮した場合は、直交関係が保たれ 図4-1のよう 対角マトリックスに変換できたが、主桁 横行共に捩り剛性を考慮した場合には、一般に図4-2のX印の部分が非零要素として残り、対角マトリックスとはならない。しかし鋼床版に対応する単純支持で等剛性の無限数横行を有する場合には

$$EJy^{(4)} = \alpha_k(n) = \sin n\pi k/l \quad (\text{主桁に集中荷重あるいは接続部})$$

$$EJy^{(3)} = \beta_k(n) = \cos n\pi k/l \quad (\text{主桁にモーメント}) \quad \text{式(6)}$$

から荷重群及びそれによる変形が全て \sin, \cos 級数に変換され、完全な直交性を有しており 多次不静定の鋼床版解析に有効な手段となる。且つこの場合のようときは、計算が弹性支承上連続桁に帰着でき簡単となる。

3 計算例

計算例としては、図5に示す断面を使用した。

$$\text{曲げ剛性 } J = 55.15 \text{ cm}^4 \quad \text{捩り剛性 } J_T = 6722 \text{ cm}^4$$

縦リブ中心間隔 60 cm

$$\text{横リブ } J = 48028 \text{ cm}^4 \quad J_T = 36165 \text{ cm}^4$$

横リブ中心間隔 2.5 m

計算比較として文献(3)(4)の Finite Strip Method 及び GIRKMAN の単純支持異方性帯状板の $K=0.3$ の場合と比較した。

この結果 縦リブ本数が多い程精度が良くなる事が判った。

尚詳細については、当日発表の予定である。

参考文献 ① Homborg ; Über die Lastverteilung durch Schubkräfte, Theorie des Plattenkreuzwerks. Der Stahlbau 1952

② 渡辺昇. 格子桁の理論と計算 技報堂 1965

③ 多田和夫 Finite Strip Method による鋼床版の実用的計算法 橋梁と基礎 1970-5

④ Bowkamp J.G & Powell G.H. Structural Behavior of an orthotropic steel deck Bridge, Structural Engineering Laboratory, Univ. of California Berkeley Report No 67-27, 1967-11

⑤ 積層知能並列箱桁曲線構の解法 土木学会論文報告集 第189号 1971-5

対角マトリックスC.

X				
	X			
		X		
			X	
				X

図4-1

X				
	X			
		X		
			X	
				X

図4-2

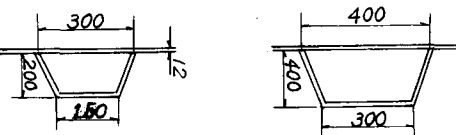


図5

分類	Homborg	Finite Strip Method	GIRKMAN
曲げ剛性のみ	1.120	1.152	1.125
曲げ剛性と 捩り剛性	1.048	1.054	$K=0.3$
曲げ及ぶ捩り剛性	0.983	1.043	1.00
曲げ剛性のみ	1.490	1.357	1.40
曲げ剛性と 主桁の捩り剛性	1.257	1.245	$K=0.3$
曲げ及び捩り剛性	1.169	1.231	1.188

床版中央における横行中央の曲げモーメント影響係数